

# МОДЕЛИ ЗОН И ПОВЕРХНОСТЕЙ ФЕРМИ ЭЛЕКТРОННО-ДОПИРОВАННЫХ КУПРАТОВ

*М. Я. Овчинникова\**

*Институт химической физики им. Н. Н. Семёнова Российской академии наук  
119334, Москва, Россия*

Поступила в редакцию 16 ноября 2007 г.

Обсуждаются свойства поверхности Ферми и зон в электронно-допированных купратах. В частности, обсуждается вопрос о происхождении дырочного кармана в узельном направлении и псевдощели в «горячих точках»: могут ли они быть следствием наличия страйп-фаз или объясняются двумя зонами антиферромагнитно-коррелированной ферми-жидкости? В рамках метода среднего поля для  $t-t'-t''-U$ -модели показано, что решения как с однородной антиферромагнитной спиновой структурой, так и с диагональной страйп-структурой могут воспроизвести фрагментарный характер поверхности Ферми. Появление дырочных карманов в разных структурах относится при этом либо к состояниям нижней хаббардовской зоны, либо к состояниям, локализованным на доменных стенках. Обсуждаются поведение щели ведущего края энергетического распределения фотоэлектронов и влияние на него удаления кислорода в ходе отбеливания.

PACS: 71.10.Fd, 74.20.Rp, 74.20.-z

Свойства поверхностей Ферми, псевдощели, сверхпроводящей щели — важнейшие характеристики ВТСП-купратов. Многие из них удается понять в терминах антиферромагнитно (AF)-коррелированной ферми-жидкости. Для недопированных соединений с дальним AF-порядком профиля краев нижней и верхней хаббардовских зон (LHB, UHB) вблизи хаббардовской щели достаточно полно изучены по разрешенным по углу фотоэмиссионным спектрам (ARPES) [1]. Часто они хорошо описываются  $t-t'-U$ -моделями Хаббарда. Уже из формы этих профилей следовало предсказание [2–4] малых поверхностей Ферми в недодопированных соединениях. Для дырочно ( $h$ )- или электронно ( $e$ )-допированных купратах малые поверхности Ферми представляют собой соответственно либо границы дырочных карманов в диагональных (узельных) областях квазимпульса вокруг точек  $(k_x, k_y) = (\pi/2, \pi/2)$ , либо границы электронных карманов в антиузельных областях вокруг точек  $(\pi, 0)$  и эквивалентных им.

В двуслойных  $h$ -допированных купратах (BSCO, YBCO) наблюдалась [5, 6] малые замкнутые по-

верхности Ферми. (В YBCO обнаружены даже отвечающие им квантовые осцилляции магнитосопротивления [7].) Однако для однослойного  $\text{La}_{2-y}\text{Sr}_y\text{CuO}_4$  (LSCO) при  $y \geq 0.06$  элементы большой поверхности Ферми — полной ферми-дуги вокруг  $Y(\pi, \pi)$  — прослеживаются почти сразу при переходе от диэлектрических к сверхпроводящим образцам LSCO [8]. Четко выраженную границу Ферми на сечении  $M(\pi, 0) - Y(\pi, \pi)$  и фрагментацию полной поверхности Ферми удалось объяснить неоднородными страйп-структурами с доменными стенками, параллельными Cu–Сu-связям [9, 10]. При этом наблюдаемая дихотомия свойств квазичастиц на узельных либо антиузельных сегментах поверхности Ферми связывалась с происхождением их либо от квазиодномерных зон состояний, локализованных на доменных стенках, либо от квазидвумерных уровней нижней хаббардовской зоны (LHB) [9, 10]. В  $h$ -допированных  $t-t'-U$ -моделях квазистатические страйп-структуры разных периодов определяют промежуточные этапы разрушения дальнего AF-порядка. Оно сопровождается как уменьшением среднего спина на ионах Cu и хаббардовской щели, так и появлением внутри щели квазиодномерных зон состояний.

\*E-mail: movchin@center.chph.ras.ru

Фрагментарный характер поверхности Ферми вдоль полной ферми-дуги наблюдался и для *e*-допированных соединений  $R_{2-x}Ce_xCuO_4$  или  $R_{1-x}LaCe_xCuO_4$ ,  $R = Pr, Nd, Sm$  [11–17]. При дипировании  $x \geq 0.13\text{--}0.15$  к малым границам Ферми вокруг электронных карманов вблизи  $M(0, \pi), (\pi, 0)$  добавляются сегменты поверхности Ферми в узельных направлениях. В работах [18–20] их появление объяснялось в рамках однородного AF-состояния с двумя хаббардовскими зонами, а именно: начиная с дипирования  $x \geq 0.13\text{--}0.15$ , зонная энергия LHB в точке  $(\pi/2, \pi/2)$  превышает химический потенциал  $\mu$ .

Для количественного описания ARPES-данных, а также обнаруженной немонотонной зависимости сверхпроводящей (SC) щели [16, 17] авторам работ [18–20] потребовалось введение высших гармоник в дисперсию нулевой зоны и сильной зависимости от дипирования  $x$  эффективного однокентрового отталкивания  $U = U_{eff}(x)$ . Последняя объяснялась экранированием взаимодействия электронов [18]. Для  $Nd_{2-x}Ce_xCuO_4$  (NCCO) величина  $U_{eff}$  менялась в пределах  $6 > U/t > 3$  при  $0 < x < 0.2$ . Одним из оснований модели служила наблюдаемая большая область дальнего AF-порядка в *e*-допированных купратах в отличие от *h*-допированных. Решения среднего поля для *e*-допированных  $t-t'-U$ -моделей также подтверждают устойчивость однородного AF-состояния в отличие от *h*-моделей, где более устойчивыми являются страйп-структуры [9]. Тем не менее представляется интересным дополнительно изучить вопрос, может ли фрагментарный характер поверхности Ферми в *e*-допированных купратах быть связан со страйп-структурами и можно ли отличить такую альтернативу от коллапса LHB и UHB однородного AF-состояния.

В настоящей работе исследуются свойства поверхности Ферми и электронных зон страйп-структур в *e*-допированных моделях в сравнении с однородными AF-решениями. Для страйп-фаз периодические решения  $t-t'-U$ -модели Хаббарда находим методом среднего поля. Соответствующие им карты спектральной плотности визуализируют поверхности Ферми и зоны состояний. В *e*- (в отличие от *h*-) дипированных купратах в рассеянии нейтронов не наблюдается пиков с определенной несоизмеримостью, связываемой с периодом страйп-структур. Тем не менее наблюдаемый диффузный пик при  $Q = 2\pi/a(1/2, 1/2)$  [21] указывает на модуляцию спиновой плотности (spin density wave, SDW) или на неупорядоченную систему

AF-доменов. Ниже мы исследуем простейшую модель с дефектами в виде доменных стенок — периодическую страйп-структуру. Будет показано, что диагональные страйп-структуры могут приводить к фрагментации поверхности Ферми и возникновению дырочных карманов в узельной области в дополнение к электронным карманам в антиузельной, равно как и к псевдощели в «горячих точках» (точках пересечения большой дуги Ферми и границы магнитной зоны Бриллюэна). Количественные разногласия результатов страйп-модели с ARPES-данными возникают при описании дисперсии зон. Свои разногласия, касающиеся ширины электронного кармана в антиузельной области, имеются и у двухзонной модели однородного AF-состояния [19].

Интерес к вопросу связан с недавними нейтронными исследованиями структуры электронно-дипированных купратов [21–24]. Они показали сосуществование при  $x \approx 0.1\text{--}0.2$  дальнего трехмерного AF-порядка, несоизмеримого SDW двумерного порядка и сверхпроводимости. В работах [22–24] выяснена суть процесса отбеливания — удаление малых количеств кислорода при отжиге. В отличие от *h*-купратов, для *e*-купратов такой процесс является необходимым этапом превращения исходно выращенных (as grown, AG) несверхпроводящих материалов в сверхпроводящие. Выяснены различия AG- и SC-образцов в химическом составе и магнитных свойствах. В спектрах ARPES [24] в AG-образцах обнаружена анизотропия щели между химическим потенциалом и ведущим краем кривой распределения фотоэлектронов по энергии (leading edge gap, LEG) и определен средний сдвиг LEG в сравнении с нулевой изотропной LEG в SC-образцах для  $Pr_{0.88}Ce_{0.12}CuO_4$  [24]. Показано [22–24], что при отбеливании кислородные вакансии возникают преимущественно в  $CuO_2$ -плоскости, что приводит к разрушению дальнего AF-порядка. Одновременно появляются слои примесной фазы  $(RCe)_2O_3$ , которые обратимо исчезают в повторно окисленных образцах.

Реальный состав AG-образцов  $R_{2-x}Ce_xCu_{1-y}O_{4+\delta}$  характеризуется некоторым дефицитом Cu ( $y \sim 0.026$ ). При таком составе ожидаемое число дипированных в  $CuO_2$ -плоскость электронов равно  $n_e = x - 2y - 2\delta$  на одну ячейку идеальной решетки. Изменение состава влечет за собой изменение  $\Delta n_e = n_e^{SC} - n_e^{AG} = 2(\delta^{AG} - \delta^{SC}) > 0$  фактического числа дипированных электронов на 1 узел  $CuO_2$  в ходе отбеливания. Это отвечает изменению химического потенциала  $\Delta\mu = \mu^{SC} - \mu^{AG} > 0$ . Между тем ARPES-данные и зависимость  $LEG(\varphi)$

обсуждаются в работе [24] в предположении сохранения  $\mu$ . Необъясненными остаются масштаб анизотропии  $LEG(\varphi)$  и сглаживание ее в SC-образцах. Обсуждение ниже связывает происхождение анизотропии  $LEG$  с AF-порядком в AG-образцах и разрушением его в SC-образцах.

Для нахождения самосогласованных однородных AF-решений модели Хаббарда использовались стандартные уравнения для чередующейся спиновой плотности [18]. Нахождение периодических страйп-структур с доменными стенками  $t-t'-U$ -модели повторяет описанные в работе [25]. Параметрами порядка в нормальном состоянии являются средние значения операторов зарядовой и спиновой плотностей  $r_j = \langle \hat{r}_j \rangle$ ,  $S_j = \langle \hat{S}_{zj} \rangle$  на узлах  $j$  элементарной ячейки структуры ( $(j = 1, \dots, n_c)$ ,  $n_c$  — число таких узлов). Линеаризованный гамильтониан равен

$$H_{lin} = \hat{T} + \sum_{jL} 2U\{r_j \hat{r}_{jL} - S_j \hat{S}_{zjL}\} = \sum_{\bar{k} \in \bar{G}} \hat{h}_{\bar{k}}, \quad (1)$$

где  $L$  нумерует элементарные ячейки. В импульсном представлении одноэлектронные функции разлагаются по набору  $2n_c$  ферми-операторов

$$\chi_{\bar{k}\nu}^\dagger = \sum_{m,\sigma} c_{\bar{k}+Bm,\sigma}^\dagger W_{m\sigma,\nu}(\tilde{k}). \quad (2)$$

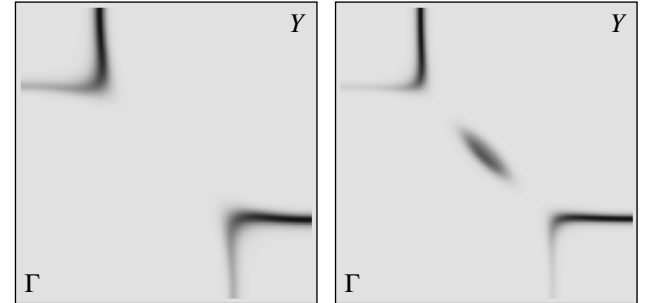
Здесь  $\nu = 1, \dots, 2n_c$ ;  $Bm = B_1 m_1 + B_2 m_2$  с векторами трансляции обратной решетки  $B_{1(2)}$ , и приведенный импульс  $\tilde{k}$  меняется в пределах зоны Брилюэна  $\tilde{G}$  структуры. Набор целых  $m = (m_1, m_2)$  нумерует независимые векторы переброса, а векторы  $\bar{k} + Bm$  охватывают все фазовое пространство  $G$  при  $\tilde{k} \in \tilde{G}$ . Матрица векторов  $W_{m\sigma,\nu}(\tilde{k})$  и собственные значения  $E_{\bar{k}\nu}$  определяются диагонализацией линеаризованного гамильтониана (1):

$$(h_{\bar{k}})_{m\sigma,m'\sigma'} W_{m'\sigma',\nu} = W_{m\sigma,\nu} E_{\bar{k},\nu}, \quad (3)$$

$$(h_{\bar{k}})_{m\sigma,m'\sigma'} = \delta_{mm'} \delta_{\sigma\sigma'} \epsilon_{\bar{k}+Bm} + \\ + U \sum_j \varphi(j, m' - m) [r_j \delta_{\sigma\sigma'} - S_j (\sigma_z)_{\sigma\sigma'}]. \quad (4)$$

Здесь  $\epsilon_k$  — энергии нулевой зоны при  $U = 0$ ;  $\varphi(j, m) = \exp[iBmj]$  и  $j = (j_x, j_y)$  перебирает все центры элементарной ячейки. Сами же параметры порядка вычисляются через матрицу собственных векторов  $W$  и фермиевские функции  $f$  согласно

$$\{r_j, S_{\alpha j}\} = \frac{1}{2N} \sum_{\bar{k} \in \bar{G}} \sum_{ms,m's'} \{\sigma_0, \sigma_\alpha\}_{ss'} \varphi(j, m' - m) \times \\ \times W_{ms,\nu}^*(\tilde{k}) W_{m's',\nu}(\tilde{k}) f(E_{\bar{k}\nu} - \mu). \quad (5)$$



**Рис. 1.** Карты сглаженной интенсивности фотоэмиссии  $\tilde{I}(\omega)$  для однородного AF-состояния для модели (7) (слева) и модели (8) (справа) [18] в I квадранте фазовой плоскости  $(k_x, k_y)$ ,  $0 \leq k_{x(y)} \leq \pi$  при допировании  $x = 0.15$ . Параметр уширения  $\Delta\omega = 0.08t$

Здесь  $\sigma_0, \sigma_\alpha$  — соответствующие матрицы Паули. Уравнения (3)–(5) определяют самосогласованные решения среднего поля (MF-решения) периодической структуры.

В одноэлектронном приближении спектральная плотность  $A(k, \omega)$  и связанная с ней интенсивность фотоэмиссии  $I(k, \omega) = A(k, \omega)f(\omega)$  определяются следующим образом:

$$A(k, \omega) = \frac{1}{N} \times \\ \times \sum_{\bar{k} \in \bar{G}} \sum_{m,\sigma,\nu} |W_{m\sigma,\nu}(\tilde{k})|^2 \delta(E_{\bar{k}\nu} - \mu - \omega) \delta_{\bar{k}, \bar{k}+Bm}. \quad (6)$$

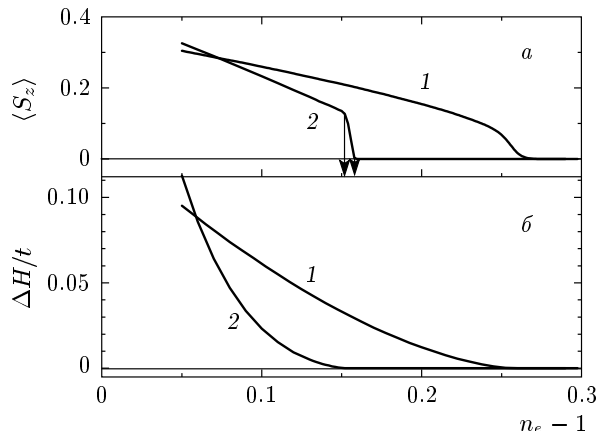
При вычислении (6) и  $I(k, \omega)$  проводилась стандартная замена  $\delta$ -функции по энергии на функцию с конечной шириной  $\Omega \sim 0.04t - 0.08t$ .

Разные страйп-структуры с расстоянием  $l = (10-20)a/\sqrt{2}$  рассчитывались для модели со стандартными для  $h$ -купратов параметрами:

$$U/t = 4, \quad t'/t = 0.25 - 0.3, \quad n_e - 1 = 0.1 - 0.15. \quad (7)$$

На рис. 1 приведена поверхность Ферми однородного AF-состояния с  $n_e = 1.15$  стандартной модели (1) и модели, полученной в работе [18] для описания NCCO и применявшейся также в работе [20] для RCCO. Модель [18] включала высшие гармоники, пропорциональные  $t, t', t''$  в  $\epsilon(k)$ , и зависящее от допирования эффективное взаимодействие, которое аппроксимируется параметрами

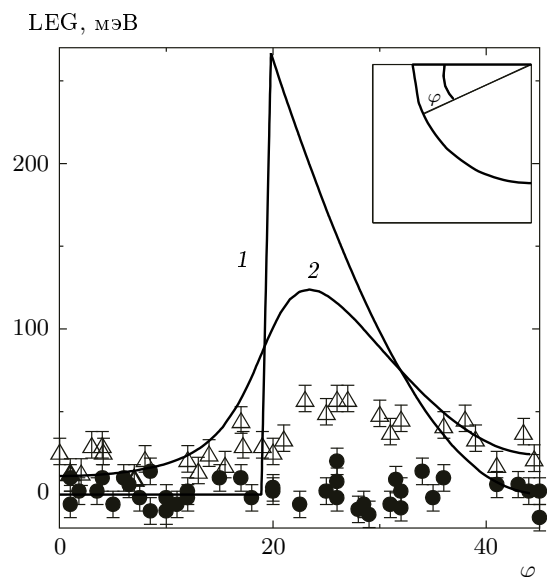
$$U_{eff} = \frac{U_0}{1 + P(x)U_0}, \quad U_0 = 6.75t, \quad (8) \\ P = 0.0185 + 1.2545x - 1.434x^2, \quad x = n_e - 1,$$



**Рис. 2.** а) Зависимость величины среднего чередующегося спина  $\langle S_z \rangle$  от допирования. Кривые 1 и 2 соответствуют моделям (7), (8). б) Кривые 1 и 2 — разности энергий  $\Delta H = H_{PM} - H_{AF}$  (в расчете на один узел решетки) однородных PM- и AF-решений как функция допирования для моделей (7) и (8). Стрелки указывают значение  $x$ , при котором LHB касается  $E_F$ , и точку перехода AF-решения в PM-решение среднего поля

и  $t$ ,  $t'$ ,  $t''$  — те же, что в работе [18]. Для модели (7) при  $x \leq 0.2$  из двух зон однородного AF-состояния лишь УНВ пересекает уровень Ферми  $E_F = \mu$  и поверхность Ферми состоит только из границ  $e$ -карманов вокруг точек  $M(\pm\pi, 0)$ ,  $(0, \pm\pi)$ . С ростом допирования происходит переход от AF- в парамагнитное (PM) состояние с коллапсом хаббардовской щели и слиянием электронных карманов с образованием большой дуги поверхности Ферми. Для модели с эффективным взаимодействием (8) при  $x \sim 0.151$  LHB касается уровня Ферми в точке  $(\pi/2, \pi/2)$ . Далее в узком интервале допирования,  $1.51 < x < 1.60$ , LHB пересекает  $E_F$  в узельной области и к поверхности Ферми добавляются границы дырочных карманов в узельной области. В этом узком интервале  $x$  величина среднего чередующегося спина резко обращается в нуль и AF-решение переходит в PM-решение среднего поля. Коллапс хаббардовской щели сопровождается образованием истинной границы Ферми вдоль всей большой дуги Ферми. На рис. 2 приведены зависимости от допирования разности средних энергий MF-состояний и величины среднего спина на узле для модели (7) с постоянным  $U$  и модели (8) с зависящим от допирования эффективным взаимодействием.

В одноэлектронном приближении щель между ведущим краем кривой распределения фотоэлектронов по энергии и химическим потенциалом



**Рис. 3.** Щель  $LEG(\varphi)$  ведущего края кривых распределения фотоэлектронов по энергии вдоль большой дуги Ферми как функция угла  $\varphi$  (см. вставку) для модели (8) [18] для  $x = 0.15$  (кривая 1). Кривая 2 — та же величина  $\overline{LEG}(\varphi)$ , сглаженная с лоренцевской функцией с  $\Gamma = 4^\circ$ . Точки отвечают  $LEG(\varphi)$ , измеренной в работе [24] для AG- и SC-образцов  $Pr_{1.85}Ce_{0.15}CuO_4$  (соответственно  $\Delta$  и  $\bullet$ )

лом  $LEG(\varphi)$  анизотропна. Она зависит от угла  $\varphi$  на большой ферми-дуге (рис. 3). Зависимость  $LEG(\varphi)$  состоит из разных участков. Она равна нулю  $LEG(\varphi) = 0$  для углов  $\varphi < \varphi^*$ , для которых точки  $k_{MBZ}(\varphi)$  границы магнитной зоны Бриллюэна (MBZ) находятся внутри электронного кармана ( $E_2(k_{MBZ}(\varphi)) - \mu < 0$ ). При  $\varphi > \varphi^*$  щель  $LEG(\varphi)$  определяется профилем нижней хаббардовской зоны  $LEG(\varphi) = \max(0, \mu - E_1(k_{MBZ}(\varphi)))$  для углов, при которых верхняя зона не заселена. Кривая 2 на рис. 3 дает  $\overline{LEG}(\varphi)$ , усредненную с лоренцевским распределением  $F(\varphi - \varphi')$  с полушириной  $\Gamma(\varphi) = 4^\circ$ , оцененной из наблюдаемой ширины MDC — кривой распределения фотоэлектронов по импульсам [24]. На том же рисунке приведены наблюдаемые зависимости  $LEG(\varphi)$  для AG- и SC-образцов РССО при  $x = 0.15$ . Явно выраженная анизотропия  $LEG_{AG}(\varphi)$  для AG-образцов качественно согласуется с рассчитанной  $\overline{LEG}(\varphi)$ , хотя амплитуды анизотропии (или разности псевдощели в «горячих точках»  $k \sim (\pi/4, 3\pi/4)$  и в антиузельной области) различаются по величине примерно в 3 раза. Это различие может быть связано с недооценкой параметра уширения  $\Gamma(\varphi)$ .

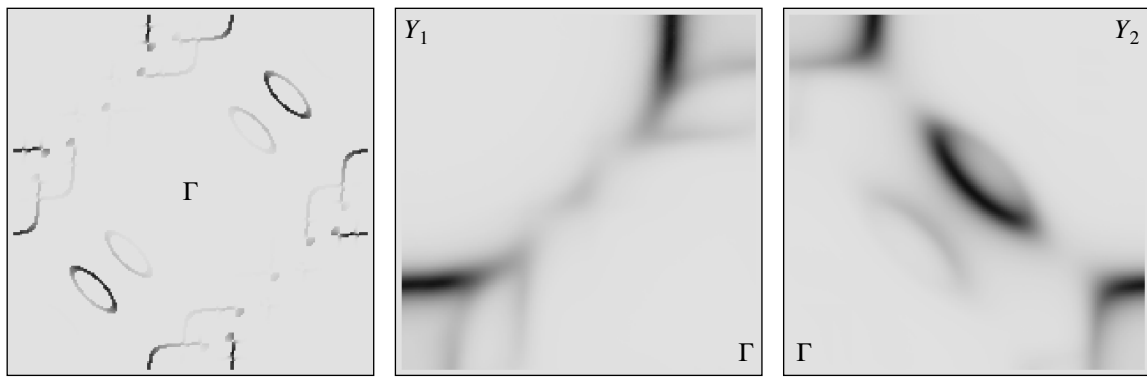
Отличие от нуля  $LEG_{AG}$  в антиузельной области для AG-образцов может быть обусловлено следующими причинами. Наблюдаемые данные для  $LEG_{AG}$  и  $LEG_{SC}$  получены из спектров ARPES для AG- и SC-образцов в предположении одинакового химического потенциала для них. Между тем, как отмечалось выше, создание кислородных вакансий в  $\text{CuO}_2$ -плоскости при отбеливании влечет за собой изменение фактического числа донированных электронов и сдвиг химического потенциала  $\Delta\mu = \mu_{SC} - \mu_{AG} > 0$ . Независимое измерение  $\Delta\mu$  для AG- и SC-образцов NCCO с  $x = 0.15$  дало величину сдвига  $\Delta\mu \sim 20$  мэВ [26], сопоставимую со сдвигом LEG в антиузельной области при отбеливании PCCO [24]. С учетом сказанного наблюдаемые точки для  $LEG_{AG}$  должны быть сдвинуты на  $\Delta\mu$ , что дает ожидаемое нулевое значение  $LEG_{AG}$  в антиузельной области ( $\varphi = 0$ ).

Контрастное отсутствие анизотропии в  $LEG_{SC}$  в SC-образцах могло бы означать частичный или полный переход в PM-состояние. MF-расчеты модели (8) [18] показывают, что в методе среднего поля переход от AF- к PM-состоянию происходит при допировании  $x = 0.160$ . Тот факт, что в SC-образцах фактическое число электронов  $n_e - 1 > x$ , казалось бы тоже указывает на переход AF  $\rightarrow$  PM. Однако в SC- (как и в AG-) образцах по-прежнему наблюдаются [15] сильное подавление интенсивности ARPES-сигнала в «горячих точках» и ярко выраженная псевдощель порядка 120 мэВ, что не описывается PM-решениями среднего поля. Более правдоподобно разрушение в SC-образцах дальнего AF-порядка при сохранении ближнего. Возможны разные сценарии разрушения в SC-образцах дальнего AF-порядка. Во-первых, в силу неоднородности потенциала и плотности электронов можно предположить сосуществование областей с AF- и PM-порядком и изменение относительной доли их с допированием. Тогда сохранение ближнего AF-порядка связано с долей AF-областей. Другая возможность — изменение фазы AF-порядка на границах AF-доменов. Тогда конечная плотность состояний вдоль всей большой границы Ферми отвечает состояниям, рассеянным на дефектах магнитной структуры или локализованным на них и на неоднородностях потенциала, вносимых допантами. В пользу такой гипотезы говорит и то, что возникающие при отбеливании вакансии кислорода в  $\text{CuO}_2$ -плоскости разрушают AF-порядок. Они действуют так же, как немагнитные примеси Zn в  $h$ -купратах [24], при этом сохраняются достаточно большие длины  $\xi_{AF}$  спиновых AF-корреляций

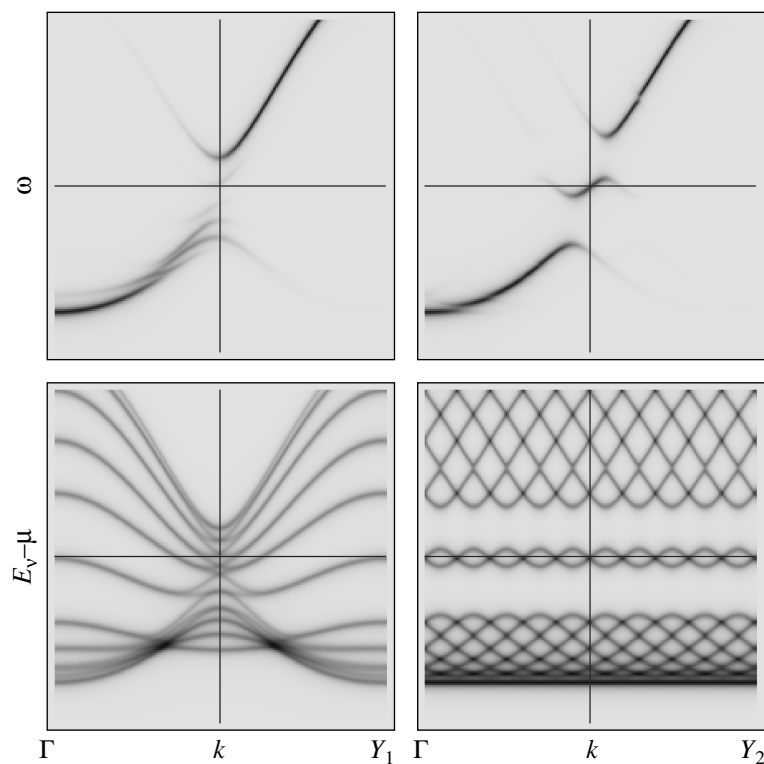
$200 \text{ \AA} < \xi < 50 \text{ \AA}$  при  $0.13 \leq x \leq 0.16$  [15].

Важно отметить наблюдаемые в работе [15] особенности эволюции кривых энергетического распределения фотоэлектронов SC-образцов в ходе допирования. Для NCCO было обнаружено, что эти кривые в горячих точках описываются двумя логарифмическими: первый пик — при  $E_F$  и второй — с максимумом, удаленным на величину псевдощели  $PG = 100\text{--}200$  мэВ. Вес первого вклада растет с допированием одновременно с падением длины  $\xi_{AF}$  двумерных спиновых корреляций и с ростом коэффициента Холла. Величина псевдощели оказалась больше, чем наблюдаемая амплитуда (порядка 40 мэВ) анизотропии LEG( $\varphi$ ) в AG-образцах, но она сопоставима с расчетной анизотропией LEG для однородных AF-решений модели (8). Гипотеза о формировании в ходе допирования плотности состояний на границе Ферми в горячих точках за счет состояний, локализованных на дефектах или рассеянных на них, требует дополнительного исследования. Ниже исследуется простейший тип неоднородностей в виде доменных стенок в периодических страйп-структуратах. Будет показано, что наличие доменных стенок сильно влияет на поверхность Ферми даже для модели (7), для которой в однородном AF-состоянии дырочный карман в узельной области не формируется.

Перейдем к результатам MF-расчетов страйп-структур. Для модели (8) [18] с переменным  $U_{eff}(x)$  поиск самосогласованных MF-решений с заданной системой параллельных доменных стенок приводил к однородному PM-решению. Для модели с параметрами (7) были найдены решения со страйп-структурой. Для страйпов, ориентированных вдоль Cu—Cu-связей, сохраняется картина электронных карманов в антиузельных областях, близкая к случаю однородного AF-состояния модели. В отличие от них, для диагональных страйпов карты интенсивности фотоэмиссии  $I(\mathbf{k}, \omega = 0)$  воспроизводят фрагментарный характер поверхности Ферми и дырочную заплату в районе  $k \sim (\pi/2, \pi/2)$ . На рис. 4 представлены карты  $I(\mathbf{k}, \omega = 0)$  и интенсивностей  $\bar{I}(\mathbf{k}, \omega = 0)$ , усредненных по интервалу частот  $\Delta\omega \sim 0.08t$ , для диагональной структуры с центрированными на связях доменными стенками, с векторами трансляции  $\mathbf{E}_1 = a(l, l)$ ,  $\mathbf{E}_2 = (-a, a)$  и с числом центров  $n_c = 2l = 20$  в элементарной ячейке ( $a$  — постоянная решетки). В исследованном случае с  $l = 10$  (в отличие от однородного AF-решения) главный дырочный карман несколько сдвинут в область второй магнитной зоны Бриллюэна. Он образуется лишь в узельном направлении,



**Рис. 4.** Слева — карта интенсивностей  $I(k, \omega = 0)$  для диагональной страйп-структуре с  $l = 10$  на полной фазовой плоскости  $|k_{x(y)}| \leq \pi$  при  $\Delta\omega = 0.02t$ ; в центре и справа — карты интенсивности  $\bar{I}(k, \omega = 0)$ , усредненной в частотном окне  $\Delta\omega = 0.08t$ , в двух квадрантах фазовой плоскости. Здесь  $\Gamma = (0, 0)$ ,  $Y_1 = (-\pi, \pi)$ ,  $Y_2 = (\pi, \pi)$  и направление  $\Gamma-Y_1$  совпадает с направлением страйпов

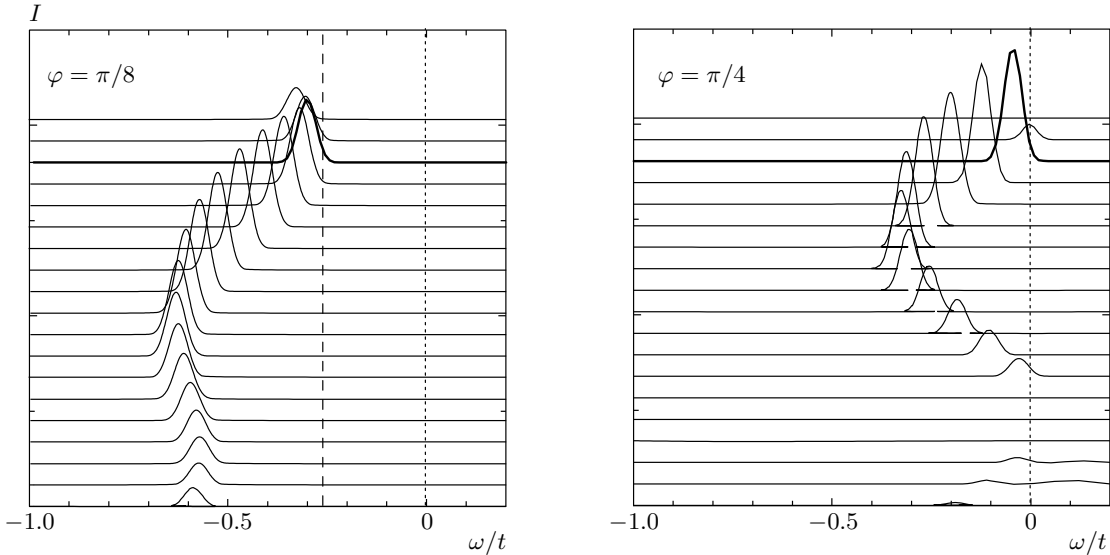


**Рис. 5.** Вверху — дисперсии зон страйп-структуре, выявляемые на картах спектральной плотности  $A(k, \omega)$  для  $k$ , меняющемся на диагоналях  $\Gamma(0, 0)-Y_1(-\pi, \pi)$  и  $\Gamma-Y_2(\pi, \pi)$ , параллельной и перпендикулярной страйпам. Внизу — собственные значения  $E_\nu(k) - \mu$  на тех же сечениях, полученные из карты  $\bar{A}(r, \omega)$ , уравнение (9). Энергия меняется в интервале  $-4 < \omega/t < 4$ , уширение  $\Delta\omega = 0.04t$ . Горизонтальная черта фиксирует уровень Ферми, вертикальная — пересечение с границей магнитной зоны Бриллюэна

нормальном к направлению страйпов.

Зоны и перенос спектрального веса между ними видны из карты спектральной плотности  $A(k, \omega)$  на плоскости  $(k, \omega)$  при изменении  $k$  вдоль опреде-

ленного контура). На рис. 5 профили зон приведены для двух диагональных сечений  $\Gamma(0, 0)-Y_1(-\pi, \pi)$  и  $\Gamma-Y_2(\pi, \pi)$ , параллельного и перпендикулярного направлению страйпов. Там же представлены соб-



**Рис. 6.** Кривые распределения фотоэлектронов по энергиям, т. е. интенсивности  $I(k, \omega)$  как функции  $\omega$  (со сдвигами по оси  $I$ ) для серии импульсов  $k = k_i$ . Значения  $k_i$  меняются на отрезках, пересекающих большую дугу Ферми в антиузельной области  $\varphi = 0$  и в горячей точке  $\sim \pi(0.29, 0.71)$  (соответственно слева и справа). Модуль  $|k - (\pi, \pi)|$  менялся снизу вверх в пределах от  $\pi$  до  $0.6\pi$

ственныне энергии  $E_\nu - \mu$ , полученные из карты функции

$$A^0(k, \omega) = \frac{1}{N} \sum_{\bar{k} \in \bar{G}} \sum_{m, \sigma, \nu} \delta(E_{\bar{k}\nu} - \mu - \omega) \delta_{k, \bar{k} + B_m} \quad (9)$$

вместо (6). Стандартное уширение  $\delta$ -функции по энергии с  $\Delta\omega \sim 0.08t$  проводилось в формулах (6), (9). Зонные энергии  $E_\nu(k)$  периодичны в  $k$ -пространстве с векторами трансляции  $B_1, B_2$  обратной решетки спиновой структуры. В то же время спектральная плотность периодична во всем импульсном пространстве исходной решетки, так что разные участки зон или поверхностей Ферми проявляются в фотоэмиссии (прямой или обратной) с разной интенсивностью. В отличие от однородного AF-состояния для диагональных страйпов дырочный сегмент поверхности Ферми вблизи  $(\pi/2, \pi/2)$  обязан своим происхождением внутрищелевым состояниям, локализованным на узлах вблизи доменных стенок. В этом убеждает расчет плотностей электронов  $n_j$  в зависимости от положения узла  $j = (j_x, 0)$  в элементарной ячейке для одноэлектронных состояний  $\chi_\nu(k)$  с энергией Ферми  $E_\nu(k) = \mu$  в узельной и антиузельной областях: соответственно при  $k = (\pi/2, \pi/2)$  и  $k = (0.75\pi, \pi)$ .

Однако ширина внутрищелевой зоны, связанной с доменной стенкой, достаточно мала  $\Delta E \sim 0.6t \sim$

$\sim 180$  мэВ и при параметрах модели (7) эта зона отделена от LHB значительной щелью. Такая дискретная зона внутри хаббардовской щели, отделенная от широкой LHB, наблюдается в ARPES-данных для NCCO при самом малом исследованном допировании  $x = 0.04$  [15]. При  $x = 0.1$ – $0.15$  на сечении  $\Gamma$  –  $Y$  и  $\omega < 0$  наблюдается единая зона с дисперсией  $\omega \sim 0.4$  эВ, превосходящей дисперсию внутрищелевой зоны  $\omega \sim 100$  мэВ. Возможно, относительно малая ширина внутрищелевой зоны в страйп-фазе связана с регулярным характером исследованной структуры. Неясно, может ли учет нерегулярности доменной стенки или дефектов другого типа устранить расхождение в эффективной дисперсии зоны в узельном направлении. Что касается «горячих точек», то псевдощель в них составляет величину  $0.27t \sim 80$  мэВ, сопоставимую с наблюдаемой величиной [15]. Оценка величины псевдощели была сделана из серии кривых распределения фотоэлектронов по энергии на сечениях, пересекающих большую дугу Ферми в антиузельной области и в «горячей точке» ( $\varphi = 0$  и  $\varphi = \pi/8$ ), изображенных на рис. 6.

Рассмотрение диагональной страйп-фазы как простейшей дефектной структуры показало возможность происхождения дырочного кармана на поверхности Ферми электронно-допированных купратов за счет состояний, локализованных на

дефектах. Это было бы альтернативой происхождения его за счет состояний нижней хабардовской зоны. Сохранение в горячих точках как псевдощели, так и конечной плотности состояний на границе Ферми  $\rho(E_F)$  и увеличение последней с допированием могут свидетельствовать либо об одновременном существовании антиферромагнитных и парамагнитных областей, либо о вкладе в  $\rho(E_F)$  состояний, локализованных на дефектах. Дефектами могут служить неупорядоченная система доменных стенок или точечные дефекты магнитной структуры на кислородных вакансиях в SC-образцах. Анизотропия щели ведущего края криевых распределения фотоэлектронов в AG-образцах и отсутствие ее в SC-образцах говорят о сохранении дальнего AF-порядка в первых и разрушении его в SC-образцах.

Автор благодарна В. Я. Кривнову за полезные обсуждения работы.

## ЛИТЕРАТУРА

1. A. Damascelli, Z.-X. Shen, and Z. Hussain, Rev. Mod. Phys. **75**, 473 (2003); E-print archives, cond-mat/0208504.
2. A. R. Kampf and J. R. Schrieffer, Phys. Rev. **42**, 7967 (1990).
3. A. A. Овчинников, М. Я. Овчинникова, Е. А. Плеханов, Письма в ЖЭТФ **67**, 350 (1998); ЖЭТФ **114**, 985 (1998); **115**, 649 (1999).
4. C. Kusko and R. S. Markiewicz, Phys. Rev. Lett. **84**, 963 (2000).
5. D. S. Marshall, D. S. Dessau, A. G. Loeser et al., Phys. Rev. Lett. **76**, 4841 (1996).
6. T. Timusk and B. Statt, Rep. Progr. Phys. **253**, 1 (1995).
7. N. Doiran-Leyrud, C. Proust, D. LeBoenf et al., Nature **447**, 565 (2007); A. F. Bangura, J. D. Fletcher, A. Carington et al., E-print archives, cond-mat/0707.4461.
8. T. Yoshida, X. J. Zhou, T. Sasagawa, W. L. Yang et al., Phys. Rev. Lett. **91**, 027001 (2002).
9. М. Я. Овчинникова, ЖЭТФ **127**, 120 (2005).
10. M. Granath, Phys. Rev. B **74**, 245112 (2006); E-print archives, cond-mat/0603156.
11. N. P. Armitage, D. H. Lu, D. L. Feng et al., Phys. Rev. Lett. **86**, 1126 (2002).
12. N. P. Armitage, D. H. Lu, D. L. Feng et al., Phys. Rev. Lett. **87**, 147003 (2002).
13. N. P. Armitage, F. Ronning, D. H. Lu et al., Phys. Rev. Lett. **88**, 257001 (2002).
14. H. Matsui, K. Terashima, T. Sato et al., Phys. Rev. Lett. **94**, 047005 (2005).
15. H. Matsui, T. Takahashi, T. Sato et al., Phys. Rev. B **75**, 224514 (2007).
16. H. Matsui, K. Terashima, T. Sato et al., Phys. Rev. Lett. **95**, 017003 (2005).
17. G. Blumberg, A. Koitzsch, A. Gozar et al., Phys. Rev. Lett. **88**, 107002 (2002).
18. C. Kusko, R. S. Markiewicz, M. Lindroos, and A. Bansil, Phys. Rev. B **84**, 140513 (R) (2002).
19. T. Das, R. S. Markiewicz, and A. Bansil, Phys. Rev. B **74**, 020506 (R) (2006).
20. T. Das, R. S. Markiewicz, and A. Bansil, E-print archives, cond-mat/0704.0956.
21. P. Dai, H. J. Kang, H. A. Mook et al., Phys. Rev. B **71**, 100502 (2005).
22. H. J. Kang, P. Dai, B. J. Campbell et al., Nature Mater. **6**, 224 (2007).
23. P. Richard, M. Poirier, S. Jandl, and P. Fournier, Phys. Rev. B **72**, 184514 (2005).
24. P. Richard, M. Neupane, Y.-M. Xu et al., E-print archives, cond-mat/0704.0453.
25. М. Я. Овчинникова, ЖЭТФ **131**, 525 (2007).
26. N. Harima, A. Matsuno, A. Fujimori et al., Phys. Rev. B **64**, 220507 (2001).